

УДК 548.734

ТЕХНИЧЕСКАЯ ФИЗИКА

В. В. КУКОЛЬ, И. Н. ВЕНГЕРОВСКАЯ, А. И. КОВАЛЕВА

ФОРМУЛА ДЛЯ ОПРЕДЕЛЕНИЯ ДИСПЕРСИИ ИСТИННОГО ПРОФИЛЯ РЕНТГЕНОВСКОЙ ДИФРАКЦИОННОЙ ЛИНИИ

(Представлено академиком Г. В. Курдюмовым 5 V 1970)

В работах М. Турнари⁽¹⁾ и А. Вильсона⁽²⁻¹⁰⁾ было показано, что если $f(x)$ — истинный профиль рентгеновской дифракционной линии, то для интеграла

$$V_f(\sigma) = \int_{-\sigma}^{\sigma} x^2 f(x) dx * \quad (1)$$

при достаточно больших σ имеет место линейное соотношение (при условии нормировки $F(0) = 1$)

$$V_f(\sigma) = -\pi^{-2} [F'(0)\sigma + \frac{1}{2}F''(0)], \quad (2)$$

где $F'(0)$ и $F''(0)$ — первая и вторая производные трансформанты Фурье $F(t)$ функции $f(x)$ при $t = 0$. Известно, что эти величины связаны с относительной среднеквадратичной микродеформацией решетки $\sqrt{\bar{e}^2}$ и средним размером областей когерентного рассеяния D ⁽¹⁸⁾:

$$D = [-F'(0)]^{-1}. \quad (3)$$

В методе А. Вильсона⁽²⁻¹⁴⁾ величину D определяют по наклону линейного участка зависимости (2) при больших σ , а $\sqrt{\bar{e}^2}$ — по отрезку, отсекаемому на оси ординат при экстраполяции линейного участка со стороны больших σ .

Однако из эксперимента можно определить не функцию $f(x)$, а функцию

$$h(x) = \int f(x-y) g(y) dy, \quad (4)$$

где $g(x)$ — инструментальный профиль дифракционной линии эталонного образца. Известно, что дисперсии входящих в выражение функций $h(x)$, $f(x)$ и $g(x)$, определяемые по формуле

$$W_h = \int_{-\infty}^{\infty} x^2 h(x) dx \quad (5)$$

(аналогично для $g(x)$ и $f(x)$), в которой, в отличие от (1), интеграл берется по всей оси, связаны соотношением

$$W_f = W_h - W_g. \quad (6)$$

В работах⁽¹⁰⁻¹⁴⁾ без оснований считают, что таким же соотношением связаны величины $V_f(\sigma)$, $V_h(\sigma)$, $V_g(\sigma)$, и применяют никем не обоснованную формулу

$$V_f(\sigma) = V_h(\sigma) - V_g(\sigma), \quad (7)$$

где $V_h(\sigma)$ и $V_g(\sigma)$ определены аналогично (1). С использованием этой формулы в работах^(15, 16) составлены программы электронных вычислительных машин для обработки экспериментальных результатов по методу А. Вильсона.

* Если интеграл берется по всей области определения функции, например при $\sigma \rightarrow \infty$, а функция $f(x)$ — четная, то величину $W := V|_{\sigma \rightarrow \infty}$ называют дисперсией функции $f(x)$.

Ниже показано, что при обычно допускаемых предположениях (2–16) формулы (6), (7) не верны, и приведен вывод правильных формул. Зависимость $V_f(\sigma)$ используют для разделения факторов уширения линий — дисперсности областей когерентного рассеяния (о.к.р.) и микронискажений кристаллической решетки. Предположение о наличии эффекта дисперсности по известным теориям (17, 18) означает, что $F'(0) \neq 0$, а это может быть только в случае, когда функция $f(x)$ убывает на бесконечности не быстрее чем x^{-2} (19). Это соответствует принятому представлению, что интерференционная функция $f(x)$, связанная с дисперсностью о.к.р., при $x \rightarrow \infty$ убывает как x^{-2} (1, 5, 15, 20). Однако при таком представлении некорректен известный вывод формулы (6) (см., например, (21)) путем умножения обеих частей уравнения (4) на x^2 и интегрирования в бесконечных пределах, так как эти интегралы расходятся.

Совершенно произвольной является также формула (7), применяемая по аналогии с (6), фактически без всяких обоснований. Заметим, что вывод соотношения (2) для функции $f(x)$ (2–7) в той же мере применим для функций $h(x)$ и $g(x)$, т. е. при нормировке $H(0) = G(0) = 1$ и при больших σ

$$\begin{aligned} V_h(\sigma) &= -\pi^{-2}[H'(0)\sigma + \frac{1}{4}H''(0)], \\ V_g(\sigma) &= -\pi^{-2}[G'(0)\sigma + \frac{1}{4}G''(0)]. \end{aligned} \quad (8)$$

Таким образом, величины производных трансформант Фурье $H(t)$ и $G(t)$ функций $h(x)$ и $g(x)$ при больших σ можно определить по линейным участкам зависимостей $V_h(\sigma)$ и $V_g(\sigma)$. С другой стороны, из известного соотношения

$$F(t) = H(t) / G(t) \quad (9)$$

можно определить производные $F(t)$

$$F'(0) = H'(0) - G'(0), \quad (10)$$

$$F''(0) = H''(0) - G''(0) - 2G'(0)[H'(0) - G'(0)]. \quad (11)$$

Подставляя эти выражения в (2) и учитывая (8), получим для линейного участка зависимости $V_f(\sigma)$

$$\bar{V}_f(\sigma) = \bar{V}_h(\sigma) - \bar{V}_g(\sigma) - \frac{1}{2\pi^2} G'(0)[H'(0) - G'(0)]. \quad (12)$$

Эта формула отличается от применявшимся формул (6), (7) наличием третьего слагаемого. Она справедлива при любых достаточно больших σ . Отсюда видно, что формула (6) справедлива только при условии $F'(0) = H'(0) - G'(0) = 0$, т. е. когда функция $f(x)$ убывает на бесконечности быстрее, чем x^{-2} (19), а применяли ее фактически при противоположном предположении. Это заключение полностью соответствует тому, что, как было отмечено выше, только при этом условии справедлив известный вывод формулы (6) (21), а применение ее для случая, когда $f(x) \rightarrow \infty \sim x^{-2}$, фактически было некорректным.

Из (12) также видно, что область линейности и наклон зависимости $V_f(\sigma)$ получаются такими же, как и в применявшейся формуле (7), но не учит в (7) третьего слагаемого правильной формулы (12) мог приводить к значительной ошибке в определении величины $F'(0)$, по которой рассчитывали микродеформацию кристаллической решетки.

Для оценки величины погрешности, связанной с применением неверной формулы (7), рассмотрим пример с функциями типа Коши, которые использовал сам автор метода при его обосновании (5) и которые иногда считают общим универсальным видом профиля в случае эффекта дисперсности (20).

Пусть $f(x) = \frac{k_f}{\pi} \frac{1}{(1 + k_f^2 x^2)}$; при значении $k_f = 320$; трансформанта

Фурье этой функции $F(x) = \exp(-2\pi t / k_f)$, и по (3) ей соответствует средний размер о.к.р. $D = k_f / 2\pi = 50 \text{ \AA}$ (при межплоскостном расстоянии,

равном 1 Å). Пусть $g(x)$ описывается функцией того же типа со значением $k_g = 1000$.

Известно, что при подстановке этих функций в (4) ($h(x)$ получается в виде функций того же типа со значением $k_h = k_g k_f / (k_g + k_f) = 242,4$). Графики функций $h(x)$ и $g(x)$ приведены на рис. 1. Для $h(x)$ можно аналитически вычислить величину

$$V_h(\sigma) = \int_{-\infty}^{\sigma} \frac{k_h x^2 dx}{\pi(1+k_h^2 x^2)} = \frac{2}{\pi k_h} \sigma - \frac{2}{\pi k_h^2} \operatorname{arctg} k_h \sigma \quad (13)$$

(рис. 1, кривая 1). При достаточно больших σ величина V_h линейно зависит от σ

$$\bar{V}_h = \frac{2}{\pi k_h} \sigma - \frac{1}{k_h^2}. \quad (14)$$

Экстраполяция этого линейного участка со стороны больших σ , находящихся за пределами рисунка, показана на рис. 1 пунктирной прямой 3.

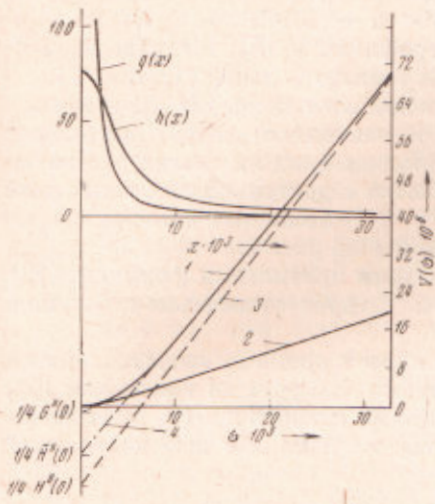


Рис. 1

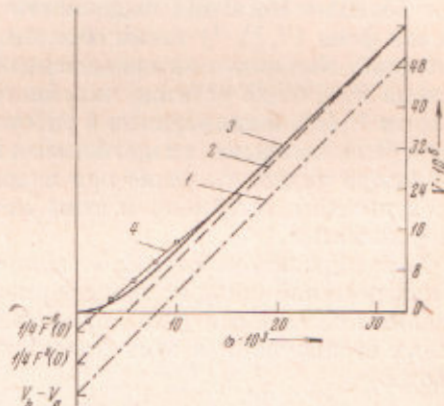


Рис. 2

Рис. 1. Графики функции типа Коши, моделирующие профили упиренной линии $h(x)$ и эталона $g(x)$ и соответствующие им графики зависимости дисперсий: 1 — $V_h(\sigma)$; 2 — $V_g(\sigma)$; 3 — истинный линейный участок $C_h(\sigma)$; 4 — кажущийся линейный участок $V_h(\sigma)$

Рис. 2. Графики дисперсий $V_f(\sigma)$. 1 — по неправильной формуле (7); 2 — по правильной формуле (12); 3 — по аналитическому выражению (13); 4 — по кажущемуся линейному участку 4 рис. 1

По формуле (8) при значении $k_g = 1000$ вычисляли величину $V_g(\sigma)$, график которой также показан на рис. 1, 2, а область линейности по (9) начинается при значениях $\sigma \approx 0,001$.

Штрих-пунктирная прямая 1 на рис. 2 представляет экстраполяцию со стороны больших σ линейного участка, полученного по неправильной формуле (7), а отрезок, отсекаемый ею на оси ординат, по применявшемуся методу принали бы за $1/\sqrt{F''(0)} = -16,02 \cdot 10^{-6}$. В действительности по правильной формуле (12) получается пунктирная прямая 2 на рис. 2, по которой получается значение $1/\sqrt{F''(0)} = -9,76 \cdot 10^{-6}$, совпадающее с полученным аналитическим путем дифференцирования в точке $t = 0$ трансформанта Фурье функции $f(x)$. Сплошная кривая представляет график точного выражения $V_f(\sigma)$, вычисленного по формуле (13) при $k_f = 320$. В данном случае это значение отличается от значения, полученного по неправильной

формуле (7), на 64%, откуда видно, что само применение формулы (7) могло приводить к значительным ошибкам в определении $F''(0)$.

Необходимо также обратить внимание на следующее обстоятельство. Линейный участок (14) кривой $V_h(\sigma)$ лежит за пределами рис. 1 в области x , в которой значения $h(x)$ составляют менее 1,5% максимального значения $h(0)$. В этой области в эксперименте $h(x)$ невозможно было бы отличить от фона некогерентного рассеяния, что лишило бы возможности построить истинно линейный участок графика $V_h(\sigma)$ при достаточно больших σ . Вместо этого при обработке экспериментальных данных за требуемый по теории метода линейный участок ошибочно приняли бы участок $V_h(\sigma)$, начиная от $\sigma = 0,008$, экстраполированный на рис. 1 птиц-пунктирной прямой и отсекающий отрезок, по которому нашли бы ${}^1/{}_4 H''(0) = -10,40 \cdot 10^{-5}$, что заметно отличается от истинного значения ${}^1/{}_4 H''(0) = -17,02 \cdot 10^{-6}$. Наклон этого отрезка $H'(0) = 2,4 \cdot 10^{-3}$ также отличается от истинного $H'(0) = 2,6 \cdot 10^{-3}$. При использовании этих неточных значений в формулах (11), (12) получается прямая 4 на рис. 2, по которой значения $F'(0) = 1,7 \cdot 10^{-3}$ и ${}^1/{}_4 F''(0) = -3,6 \cdot 10^{-6}$ значительно отличаются от истинных значений (соответственно $2,0 \cdot 10^{-3}$ и $-9,76 \cdot 10^{-6}$).

Эта обработка выполнена по точным графикам $V_h(\sigma)$, в случае же экспериментальных данных ошибки были бы гораздо больше. Поэтому вызывает большие сомнения надежность применяемого критерия для выбора уровня фона (^{10, 13, 16}) таким образом, чтобы зависимость $V_h(\sigma)$ получалась линейной. Как видно из приведенных примеров, вряд ли можно рассчитывать на получение истинно линейного участка в доступной для измерений области $V_h(\sigma)$, а полученные в работах (^{10, 13, 16}) линейные участки, скорее всего, были ложными, аналогичными прямой 4 на рис. 2.

Отсюда видно, что даже при использовании правильной формулы (12) к результатам, полученным этим методом, следует относиться с большой осторожностью.

Хотя в данной работе используются распространенные представления и математический аппарат трансформант функций Фурье из уравнения (4), заданных на всей оси (¹⁻²¹), проведенный нами аналогично (²²) учет физических ограничений в этих представлениях не изменяет выводов данной работы.

Украинский научно-исследовательский
институт металлов
Харьков

Поступило
24 III 1970

ЦИТИРОВАННАЯ ЛИТЕРАТУРА

- ¹ M. Tougvare, C. R., 242, 2161 (1956). ² A. J. C. Wilson, Proc. Phys. Soc. London, 78, 249 (1961). ³ A. J. C. Wilson, Nature, 193, № 4815, 568 (1962).
⁴ A. J. C. Wilson, Proc. Phys. Soc. London, 80, 286, 303 (1962). ⁵ A. J. C. Wilson, Norelco Rep., 9, № 3 (1962). ⁶ A. J. C. Wilson, Proc. Phys. Soc. London, 81, 41 (1963). ⁷ A. J. C. Wilson, ibid., 82, 986 (1963). ⁸ A. J. C. Wilson, Mathematical Theory of X-Ray Powder Diffractometry, 1963. ⁹ A. J. C. Wilson, X-Ray Powder Diffractometry Advanced Methods of Crystallography, London, 1964, p. 221. ¹⁰ J. I. Langford, A. J. C. Wilson, Crystallography and Crystal Perfection, London, 1963, p. 207. ¹¹ F. W. Willerts, J. Appl. Phys., 16, 323 (1965). ¹² E. N. Aqua, Acta crystallogr., 20, 560 (1966). ¹³ J. I. Langford, J. Appl. Crystallogr., 1, 48 (1968).
¹⁴ Я. Д. Вишняков, А. Н. Иванов, М. Н. Перегудов, Кристаллография, 13, 1093 (1968). ¹⁵ N. W. Grimes, R. J. Hilleard et al., Proc. Phys. Soc., 1, 663 (1968). ¹⁶ R. J. Hilleard, J. A. Webster, J. Appl. Crystallogr., 2, № 5, 193 (1969).
¹⁷ E. F. Bertaut, Acta Crystallogr., 3, 14 (1950). ¹⁸ B. E. Warren, B. L. Averbach, J. Appl. Phys., 21, 595 (1950). ¹⁹ В. В. Куколь, Физ. тверд. тела, 4, 724 (1962). ²⁰ А. Г. Хачатурян, Кристаллография, 5, № 3, 534 (1960). ²¹ А. Fingerman, Czechosl. J. Phys., 10, № 3, 253 (1960). ²² В. В. Куколь, Кристаллография, 8, № 5, 812 (1963).